

ОБЪЕДИНЕННЫЙ  
ИНСТИТУТ  
ЯДЕРНЫХ  
ИССЛЕДОВАНИЙ  
ДУБНА



7/4-77

P6 - 10486

Г-874

2500/2-77

К.Я.Громов, А.Ш.Хамидов

ЗАМЕЧАНИЯ К РАСПАДУ  $^{167}\text{Lu}$  -  $^{167}\text{Yb}$

1977

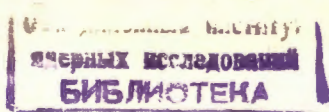
P6 - 10486

К.Я.Громов, А.Ш.Хамидов\*

ЗАМЕЧАНИЯ К РАСПАДУ  $^{167}\text{Lu} - ^{167}\text{Yb}$

Направлено в "Известия АН СССР" /сер. физ./

\*Институт ядерной физики АН УзбССР, г.Ташкент.



Громов К.Я., Хамидов А.Ш.

P6 - 10486

Замечания к распаду  $^{167}\text{Yb} \rightarrow ^{167}\text{Lu}$

Сопоставляются результаты ранее опубликованных работ по распаду  $^{167}\text{Lu}$  с целью определения спинов и четностей уровней  $^{167}\text{Yb}$  введенных Майером и др. Для четырех уровней сделаны однозначные заключения о спинах и четностях; для всех уровней сделаны однозначные заключения об их четности. Обсуждается вопрос об аномалии в отношении  $\epsilon/\beta^+$  при распаде  $^{167}\text{Lu}$ .

Работа выполнена в Лаборатории ядерных проблем ОИЯИ.

Препринт Объединенного института ядерных исследований. Дубна 1977

Gromov K.Ya., Khamidov A.Sh.

P6 - 10486

Comments to the Decay  $^{167}\text{Yb} \rightarrow ^{167}\text{Lu}$

The results of previously published works on  $^{167}\text{Lu}$  decay are compared with a view to determine the spins and parities for  $^{167}\text{Yb}$  levels introduced by Maier et al. Unambiguous conclusions are made about the spins and parities for four levels; the same conclusions about the parities are made for all levels. The problem is discussed about the anomaly with respect to  $\epsilon/\beta^+$  at  $^{167}\text{Lu}$  decay.

The investigation has been performed at the Laboratory of Nuclear Problems, JINR.

Preprint of the Joint Institute for Nuclear Research. Dubna 1977

© 1977 Объединенный институт ядерных исследований Дубна

В 1976 году были опубликованы две работы<sup>/1,2/</sup>, посвященные исследованию распада  $^{167}\text{Lu} / T_{1/2} = 55 \text{ мин.}$ . В работах проведено детальное исследование излучения, возникающего при распаде  $^{167}\text{Lu}$ . Построена схема распада этого ядра. Результаты работ в основном совпадают. В нашей работе<sup>/1/</sup> получены новые данные о спектре конверсионных электронов, что позволило определить мультипольности большего числа  $\gamma$ -переходов, чем в<sup>/2/</sup>. Б.Майер и др.<sup>/2/</sup> спектр конверсионных электронов не изучали, а пользовались результатами нашей более ранней работы<sup>/3/</sup>. Майер и др.<sup>/2/</sup> провели более полные исследования спектров  $\gamma$ - $\gamma$ -совпадений. Это позволило им ввести в схему распада  $^{167}\text{Lu}$  12 уровней, которые в<sup>/1/</sup> не вводились. Кроме того, Майер и др. сделали вывод о наличии при распаде  $^{167}\text{Lu}$  аномалии в отношениях интенсивностей электронного захвата и  $\beta^+$ -распада. В настоящей работе мы сопоставляем результаты работ<sup>/1/</sup> и<sup>/2/</sup> с целью определения спинов и четностей уровней, введенных в<sup>/2/</sup>, и обсуждаем вопрос об аномалии в отношении  $\epsilon/\beta^+$  при распаде  $^{167}\text{Lu}$ .

В табл. 1 представлены результаты анализа данных нашей работы<sup>/1/</sup> с целью определения спинов и четностей уровней, введенных в<sup>/2/</sup>. В первой и второй колонках даны предлагаемые Майером и др.<sup>/2/</sup> энергии, спины и четности уровней. В колонках 3 и 4 приведены энергии  $\gamma$ -переходов, которые могут связывать эти уровни с лежащими ниже, и их мультипольности. Все указанные здесь мультипольности определены в<sup>/1/</sup> впервые. В колонках 5 и 6 даны энергии этих лежащих ниже уровней, их спины и четности и асимптотические квантовые числа. Энергии  $\gamma$ -переходов и уровней /ко-

Таблица 1

Определение спинов и четностей уровней  $^{167}\text{Yb}$

| $E_{\text{ур}} /2/$<br>кэВ | $I^{\text{II}} /2/$ | $E_{\text{у}}$<br>кэВ                          | Мультиполь-<br>ность                     | $E_{\text{ур}}$<br>кэВ                | $I^{\text{II}}$   |   | $I^{\text{II}}$ | $E_{\text{ур}}$<br>кэВ |
|----------------------------|---------------------|--|--|---------------------------------------|---|---|-----------------|------------------------|
| 1                          | 2                   | 3  | 4  | 5                                     | 6   | 7 | 8               | 9                      |
| 569,40                     | $7/2^+, 9/2^+$      | 539,7<br>443,0 <sup>a</sup><br>356,36<br>330,2 | M1                                       | 29,66<br>125,9<br>213,2<br>239,1      | $5/2^+ 5/2 /642/$<br>$11/2^+ 5/2 /642/$<br>$3/2^- 3/2 /521/$<br>$5/2^- 3/2 /521/$                       |   | ?               |                        |
| 628,47                     | -                   | 559,7<br>594,6<br>570,0<br>197,8 <sup>b</sup>  | M1<br>M1<br>M1<br>$E2+(M1)$              | 29,66<br>33,91<br>58,54<br>430,9      | $5/2^+ 5/2 /642/$<br>$7/2^- 5/2 /642/$<br>$9/2^+ 5/2 /642/$<br>$7/2^+ 7/2 /633/$                        | + | $5/2^+, 3/2^+$  | 569,45                 |
| 677,13                     | -                   | 677,4<br>464,4<br>437,2<br>398,80<br>368,85    | E1<br>E2<br>M1<br>$M1 + E2$<br>$M1 + E1$ | 0<br>213,2<br>239,1<br>278,2<br>308,5 | $5/2^- 5/2 /523/$<br>$3/2^- 3/2 /521/$<br>$5/2^- 3/2 /521/$<br>$5/2^- 1/2^- /521/$<br>$5/2^- 5/2 /512/$ | c | $7/2, 5/2, 3/2$ | 677,15                 |
| 1305,49                    | $5/2^-, 7/2^{\pm}$  | 1305,4<br>1275,4<br>1127,4<br>1092,5<br>677,4  | E1                                       | 0<br>29,66<br>178,9<br>213,2<br>628,5 | $5/2^- 5/2 /523/$<br>$5/2^+ 5/2 /642/$<br>$9/2^- 5/2 /523/$<br>$3/2^- 3/2 /521/$<br>$7/2^+$             | + | $7/2^+$         | 1305,64                |

Таблица 1 /продолжение/

| 1       | 2              | 3  | 4                            | 5  | 6   | 7      | 8                  | 9       |
|---------|----------------|--|------------------------------|--|---|--------|--------------------|---------|
| 1975,21 | $7/2^+, 9/2^+$ | 1945,68 <sup>a</sup><br>1941,1<br>1849,0<br>1697,1 <sup>d</sup><br>1555,3<br>1534,8<br>1403,6<br>1255,8  | E2                           | 29,66<br>33,91<br>125,9<br>278,2<br>419,6<br>440,7<br>571,6<br>719,7 | $5/2^+ 5/2 /642/$<br>$7/2^+ 5/2 /642/$<br>$11/2^+ 5/2 /642/$<br>$5/2^- 1/2^- /521/$<br>$9/2^- 3/2 /521/$<br>$7/2^- 1/2^- /521/$<br>$11/2^- 11/2 /505/$<br>$7/2^-$ |        | (9/2) <sup>+</sup> | 1975,18 |
| 1979,39 |                | 1979,5<br>1945,6 <sup>a</sup><br>1740,7<br>1548,4<br>673,9<br>1920,9 <sup>d</sup><br>1800,8 <sup>d</sup> | E1<br>E1<br>E2(E1)<br>E2(E1) | 0<br>239,1<br>430,9<br>1305,5<br>58,54<br>178,9                      | $5/2^- 5/2 /523/$<br>$7/2^+ 5/2 /642/$<br>$5/2^- 3/2 /521/$<br>$7/2^+ 7/2 /633/$<br>$7/2^+$<br>$9/2^+ 5/2 /642/$<br>$9/2^- 5/2 /523/$                             | c<br>+ | (7/2) <sup>+</sup> | 1979,53 |
| 2052,77 | $7/2^+, 9/2^+$ | 1973,8<br>1926,2<br>1752,8<br>1735,3   | E1                           | 78,68<br>125,9<br>301,5<br>317,5                                     | $7/2^- 5/2 /523/$<br>$11/2^+ 5/2 /642/$<br>$11/2^- 5/2 /523/$<br>$7/2^- 3/2 /521/$  | +      | $9/2^+$            | 2052,46 |

Таблица 1 /продолжение/

| 1       | 2                                 | 3   | 4                | 5   | 6   | 7 | 8                          | 9                  |
|---------|-----------------------------------|---|------------------|---|---|---|----------------------------|--------------------|
| 1995,36 |                                   | 1995,5<br>1961,4<br>1936,5<br>1678,0 <sup>a</sup><br>1555,3<br>1423,7<br>1584,9 <sup>b</sup>  | E2(E1)<br>E2(E1) | 0<br>33,91<br>58,54<br>317,5<br>440,7<br>571,6<br>411,0<br>7/2                            | 5/2 <sup>-</sup> 5/2 /523/<br>7/2 <sup>+</sup> 5/2 /642/<br>9/2 <sup>+</sup> 5/2 /642/<br>7/2 <sup>-</sup> 3/2 /521/<br>7/2 <sup>-</sup> 1/2 /521/<br>11/2 <sup>-</sup> 11/2 /505/<br>7/2   | c | (7/2) <sup>+</sup>         | 1995,61<br>1995,61 |
| 2012,36 |                                   | 640 <sup>d</sup><br>1954,23 <sup>a</sup><br>1933,5(3)<br>1833,2(3)<br>1582,0 <sup>d</sup><br>1534,8 <sup>d</sup><br>1384,2 <sup>d</sup> | M1<br>E2(E1)     | 1356,4<br>58,54<br>78,68<br>178,88<br>430,9<br>477,5<br>628,5<br>7/2 <sup>+</sup>         | 9/2 <sup>+</sup> , 11/2 <sup>+</sup><br>9/2 <sup>+</sup> 5/2 /642/<br>7/2 <sup>-</sup> 5/2 /523/<br>9/2 <sup>-</sup> 5/2 /523/<br>7/2 <sup>+</sup> 7/2 /633/<br>9/2 <sup>-</sup> 1/2 <sup>-</sup> /521/<br>7/2 <sup>+</sup>   | + | (7/2, 9/2) <sup>+</sup>    | 2012,49            |
| 2013,27 | 5/2 <sup>±</sup> 7/2 <sup>-</sup> | 2012,9<br>1983,2<br>1954,23 <sup>a</sup><br>1824,8<br>991,0<br>1979,5 <sup>d</sup><br>1973,8<br>1894,4<br>1665,2<br>1656,1<br>1563,2    |                  | 0<br>29,66<br>58,54<br>188,66<br>1022,3<br>33,91<br>0<br>78,68<br>308,5<br>317,5<br>411,0 | 5/2 <sup>-</sup> 5/2 /523/<br>5/2 <sup>+</sup> 5/2 /642/<br>9/2 <sup>+</sup> 5/2 /642/<br>1/2 <sup>-</sup> 1/2 /521/<br>7/2 <sup>+</sup> , 9/2 <sup>+</sup><br>7/2 <sup>+</sup> 5/2 /642/<br>5/2 <sup>-</sup> 5/2 /523/<br>7/2 <sup>-</sup> 5/2 /523/<br>5/2 <sup>-</sup> 5/2 /512/<br>7/2 <sup>-</sup> 3/2 /521/<br>7/2 <sup>-</sup> 5/2 /512/ |   | 9/2, 7/2, 5/2 <sup>-</sup> | 2013,12            |
| 1974,01 |                                   |   | E1<br>E1<br>E1   |   |   | c | 7/2, 5/2 <sup>+</sup>      | 1973,68            |

Таблица 1 /продолжение/

| 1       | 2                                   | 3   | 4 | 5  | 6  | 7 | 8                | 9       |
|---------|-------------------------------------|---|---|--|--|---|------------------|---------|
| 2330,46 | 7/2 <sup>+</sup> , 9/2 <sup>±</sup> | 2271,5<br>2204,3<br>1910,8<br>1899,5<br>1889,9<br>1701,8<br>1541,9<br>2296,2 <sup>d</sup><br>2151,8 <sup>d</sup><br>1758,8 <sup>d</sup> |   | 58,54<br>125,9<br>419,6<br>430,9<br>440,7<br>628,5<br>788,4<br>33,91<br>178,9<br>571,6 | 9/2 <sup>+</sup> 5/2 /642/<br>11/2 <sup>+</sup> 5/2 /642/<br>9/2 <sup>-</sup> 3/2 /521/<br>7/2 <sup>+</sup> 7/2 /633/<br>9/2 <sup>-</sup> 1/2 /521/<br>7/2 <sup>+</sup><br>7/2 <sup>-</sup> , 9/2 <sup>-</sup><br>7/2 <sup>+</sup> 5/2 /642/<br>9/2 <sup>-</sup> 5/2 /523/<br>11/2 <sup>-</sup> 11/2 /505/ | c | 9/2 <sup>+</sup> | 2330,35 |

ПРИМЕЧАНИЯ: 1. Буквой "а" в колонке 3 отмечены  $\gamma$ -переходы, которые наблюдались в работе<sup>/2/</sup>.

Буквой "б" -  $\gamma$ -переходы, наблюдавшиеся только в нашей работе<sup>/1/</sup>.

2. В колонке 7 знаком "+" отмечены  $\gamma$ -переходы, для которых в<sup>/2/</sup> наблюдались  $\gamma$ - $\gamma$ -соппадения. "с" - слабые  $\gamma$ - $\gamma$ -соппадения.

лонки 3 и 5/ даны по нашей работе<sup>/1/</sup>. Знаком "а" в колонке 3 отмечены  $\gamma$ -переходы, которые наблюдались только в<sup>/2/</sup>; знаком "б" -  $\gamma$ -переходы, обнаруженные в<sup>/1/</sup>. В седьмой колонке знаком "плюс" в соответствующей строке отмечено, что в<sup>/2/</sup> наблюдались  $\gamma$ - $\gamma$ -совпадения, подтверждающие вводимый уровень. В колонке 8 представлены наши выводы о спинах и четностях вводимых уровней. В последней колонке дается наше значение энергии уровня.

Из табл. 1 видно, что мультипольности переходов 539,5 кэВ (M1) и 356,2 кэВ (E1) позволяют сделать заключение о четности и возможных спинах уровня 569,45 кэВ: 5/2, 3/2<sup>+</sup>, а не 7/2, 9/2<sup>+</sup>, как в<sup>/2/</sup>. При этом  $\gamma$ -переход 443,0 кэВ, наблюдавшийся только в<sup>/2/</sup>, должен был бы иметь мультипольность M3 или E4. Наблюдение такого перехода маловероятно. По-видимому, совпадение энергии перехода 443 кэВ с разностью соответствующих уровней случайно. Этот факт отмечен в колонке 8 знаком вопроса. Спин и четность уровня 628,8 кэВ устанавливаются однозначно: 7/2<sup>+</sup>. Для уровня 677,15 кэВ однозначно установлена четность; возможные значения спина этого уровня 7/2, 5/2 или 3/2, и так далее.

Таким образом, исследование спектра конверсионных электронов и определение мультипольностей ряда переходов позволило сделать более обоснованные заключения о спинах и четностях уровней <sup>167</sup>Yb. Для четырех из двенадцати рассмотренных уровней сделаны однозначные заключения о спинах и четностях; для всех уровней сделаны однозначные заключения об их четности.

Рассмотрим вопрос об интенсивности позитронного распада <sup>167</sup>Lu и об аномалии в отношении  $\epsilon/\beta^+$  при распаде <sup>167</sup>Lu. Майер и др.<sup>/1/</sup> определяли интенсивность позитронов <sup>167</sup>Lu по интенсивности аннигиляционного излучения. Она оказалась равной 1,82% на один распад <sup>167</sup>Lu. Указывалось, что это значение в 15 раз больше значения, полученного в нашей лаборатории<sup>/4/</sup> в 1964 г. В связи с этим обсудим несколько подробнее результаты работы<sup>/4/</sup>. Агеев и др.<sup>/4/</sup> изучали позитро-

ны, возникающие в цепочке распадов <sup>167</sup>Lu 55 мин. <sup>167</sup>Yb → 17 мин. <sup>167</sup>Tm с помощью бесфонового бета-спектрометра с трехкратной фокусировкой и наблюдали три компонента позитронов с граничными энергиями /640±20/ кэВ, /1400±100/ кэВ и /2060±100/ кэВ. Интенсивности компонентов были определены сравнением с интенсивностями конверсионных линий <sup>167</sup>Tm как /0,4±0,1/%, /0,07±0,02/% и /0,05±0,02/% на распад, соответственно. В ряде работ<sup>/5/</sup> было показано, что при распаде <sup>167</sup>Yb возникают позитроны с граничной энергией /639±4/ кэВ и интенсивностью /0,49±0,12%. Поэтому мягкая компонента позитронов, обнаруженных при распаде <sup>167</sup>Lu в равновесии с <sup>167</sup>Yb /, была приписана дочернему <sup>167</sup>Yb, а две другие - распаду <sup>167</sup>Lu. Подчеркнем, что таким образом интенсивности позитронов при распаде <sup>167</sup>Lu можно считать определенными двумя различными методами: сравнением с интенсивностью конверсионных линий <sup>167</sup>Tm и сравнением с интенсивностью позитронов <sup>167</sup>Yb. Мы можем указать один из источников завышения интенсивности позитронов в<sup>/2/</sup>. В спектре конверсионных электронов <sup>167</sup>Lu мы наблюдали К-конверсионную линию  $\gamma$ -перехода 510,3 кэВ /рис.1/. В списке  $\gamma$ -переходов у Майера и др.<sup>/2/</sup> такого перехода нет, и его интенсивность, очевидно, включалась в интенсивность аннигиляционного пика. По нашим<sup>/1/</sup> оценкам интенсивность  $\gamma$ -лучей 510,3 кэВ составляет примерно половину интенсивности аннигиляционного пика, полученной Майером. Аннигиляционный пик в  $\gamma$ -спектре <sup>167</sup>Lu находится между пиками  $\gamma$ -лучей с энергией 510,3 кэВ и 513,1 кэВ, и вся эта группа трудно поддается разложению на компоненты. Все же по нашим оценкам интенсивность аннигиляционного пика была существенно меньше интенсивности  $\gamma$ -лучей 510,3 кэВ и 513,1 кэВ. Заметим, что мы использовали масс-сепарированные источники <sup>167</sup>Lu, в которых содержание изотопов с соседними массами не превышало 0,1%. В источниках, изучавшихся в<sup>/2/</sup>, содержались другие изотопы лютеция /<sup>168</sup>Lu, <sup>169</sup>Lu и другие/. Таким образом, мы считаем приведенные аргументы достаточными, чтобы отнести результаты изучения спектра по-

зитронов  $^{167}\text{Lu}$  в  $^{1/4}$  к более достоверным, чем новый результат  $^{1/2}$ .

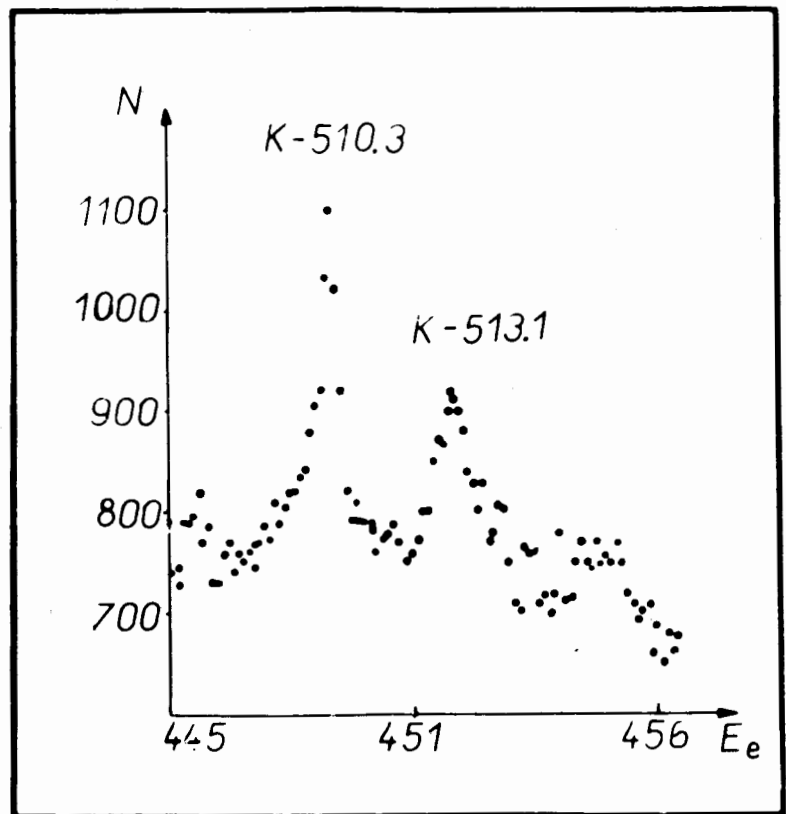


Рис. 1. Участок спектра конверсионных электронов  $^{167}\text{Lu}$ .

Майер и др.  $^{1/2}$  вычислили интенсивности заселения уровней  $^{167}\text{Yb}$  при распаде  $^{167}\text{Lu}$  по разностям интенсивностей  $\gamma$ -переходов, идущих на и с соответствующими уровнями. Мы таких вычислений не выполняли, так как считали их для столь сложного распада, каким является случай  $^{167}\text{Lu}$ , необоснованными. Дело в том, что при этих расчетах интенсивности заселения нижних

уровней  $^{167}\text{Yb}$  получаются как разности сравнительно больших чисел и ошибки в них, естественно, велики. Интенсивность  $\gamma$ -переходов, размещенных в схеме распада, составляет, по нашим данным, 80% интенсивности всех обнаруженных  $\gamma$ -переходов /а не 90%, как в  $^{1/2}$ /. Кроме того, следует отметить, что  $\gamma$ -спектр  $^{167}\text{Lu}$  настолько сложен, что в экспериментальных спектрах в области больших энергий наблюдалось заметное превышение фона, которое, по-видимому, образуется из большого числа неразрешенных слабых пиков  $\gamma$ -лучей. Неразмещенные и еще не обнаруженные  $\gamma$ -переходы могут существенно изменить баланс интенсивностей на нижних уровнях. Неудивительно поэтому, что авторы  $^{1/2}$  пришли к выводу об аномалии в отношениях  $\epsilon/\beta^+$ .

Для пояснения ситуации рассмотрим пять нижних возбужденных состояний  $^{167}\text{Yb}$ . В табл. 2 приведены данные о заселении нижних уровней  $^{167}\text{Yb}$  при распаде  $^{167}\text{Lu}$  по данным Майера и др. ( $\epsilon+\beta^+$ )  $^{1/2}$ , там же приведены оценки пределов ( $\epsilon+\beta^+$ )  $^{1/1}$ , вычисленные по данным нашей работы. С использованием расчетных отношений интенсивностей электронного захвата и позитронного захвата ( $\epsilon/\beta^+$   $^{1/6}$ ) рассчитаны ожидаемые интенсивности позитронов /последние две колонки/. Как видно из таблицы, ожидаемая по  $^{1/2}$  интенсивность позитронов на рассмотренные уровни больше 6,5%. Это более чем в три раза больше интенсивности позитронов  $^{1/1}, 82\%$ , определенной в  $^{1/2}$ . Аномалия существенно увеличивается, если учесть не нижние, а все уровни  $^{167}\text{Yb}$ . Если же принять по Агееву и др.  $^{1/4}$  интенсивность  $\beta^+$ -компоненты, связанной с распадом на нижние уровни //2060  $\pm$  100/ кэВ,  $^{1/0}, 05 \pm 0,02\%$ , то "аномалия" возрастает в 40 раз.

В работах  $^{1/2}$  уровни  $^{167}\text{Yb}$  вводились только на основе экспериментов по  $\gamma-\gamma$ -совпадениям. Мы провели "игру с суммами", а именно искали разности энергий неразмещенных в схеме распада  $\gamma$ -переходов, совпадающие с разностями энергий нижних /до 178,9 кэВ/ уровней. Если отобрать среди полученных уровней не противоречивые, с точки зрения правил отбора, остается около 30 возможных дополнительных уровней. Интен-

Таблица 2

К вычислению интенсивностей  $\beta^+$ -распада  $^{167}\text{Lu}$  на  
уровни  $^{167}\text{Yb}$

| $E_{\text{ур}} \text{ кэВ}$ | $I K'' [N n_z \Lambda]$ | $(\epsilon + \beta^+)/2\%$ | $(\epsilon + \beta^+)/1\%$ | $\epsilon/\beta^+$ | $\beta^+/2\%$ | $\beta^+/1\%$ |
|-----------------------------|-------------------------|----------------------------|----------------------------|--------------------|---------------|---------------|
| 0                           | $5/2^- 5/2^- /523/$     | < 5                        | -                          | 3,6                | < 1,1         |               |
| 29,66                       | $5/2^+ 5/2^+ /642/$     | 10,1                       | $\leq 4,5$                 | 4,0                | 2             | $\leq 0,9$    |
| 33,91                       | $7/2^- 5/2^+ /642/$     | 4,8                        | $\leq 0,5$                 | 4,0                | 1             | $\leq 0,1$    |
| 58,54                       | $9/2^- 5/2^+ /642/$     | < 6,3                      | $\leq 5,0$                 | 4,3                | < 1,2         | $\leq 1,0$    |
| 78,68                       | $7/2^- 5/2^- /523/$     | 7,6                        | $\leq 10$                  | 4,4                | 1,4           | $\leq 1,9$    |
| 125,91                      | $11/2^- 5/2^+ /642/$    | 5,3                        | -                          | 4,5                | 1,0           | -             |
|                             |                         | $\Sigma$                   |                            |                    | $> 6,5$       |               |

Таблица 3

Сравнение  $\log ft$  для некоторых  $\beta$ -переходов при распаде  
 $^{167}\text{Lu}$  по /2/ с  $\log ft$  аналогичных переходов при распаде  
 $^{169}\text{Lu}$  и  $^{171}\text{Lu}$

| $\beta$ -переход |                                    |                      | $\log ft$             |                       |                       |
|------------------|------------------------------------|----------------------|-----------------------|-----------------------|-----------------------|
| $I''$            | $K[N n_z \Lambda] \rightarrow I''$ | $K[N n_z \Lambda]$   | $^{167}\text{Yb} /2/$ | $^{169}\text{Yb} /7/$ | $^{171}\text{Yb} /8/$ |
| $7/2^+$          | $7/2^- /404/$                      | $-5/2^+ 5/2^- /642/$ | 6,7                   | 9,1                   | 9,9                   |
| "                |                                    | $-7/2^+ "$           | 7,0                   | 8,9                   | 9,6                   |
| "                |                                    | $-9/2^+ "$           | $> 6,9$               | 8,9                   | 9,8                   |
| "                |                                    | $-7/2^- 5/2^- /523/$ | 6,8                   | 8,1                   | 8,2                   |

сивность  $\gamma$ -переходов, идущих с них на нижние уровни, составляет  $\sim 13\%$  на распад  $^{167}\text{Lu}$ . Этот пример иллюстрирует возможность снятия "аномалии" в отношении  $\epsilon/\beta^+$ . Заметим, что в  $^{167}\text{Lu}$  следовало бы отметить также и аномально низкие значения  $\log ft$  для  $\beta$ -переходов на нижние уровни. В табл. 3 значения  $\log ft$ , полученные в  $^{167}\text{Lu}$ , сравниваются со значениями  $\log ft$  для аналогичных  $\beta$ -переходов при распаде соседних изотопов лютеция. Мы видим, что во всех случаях в  $^{167}\text{Lu}$  значения  $\log ft$  занижены. Изложенное выше позволяет, по нашему мнению, считать, что сделанные Майером и др. выводы о наблюдении при распаде  $^{167}\text{Lu}$  аномалии в отношении интенсивностей электронного захвата и  $\beta^+$ -распада, по меньшей мере, преждевременны.

Авторы глубоко признательны д-ру И.Звольскому за полезные дискуссии.

### Литература

1. а/ *Gromov K.Ya. e.a. Z.Phys., 1976, A277, p.395.*  
б/ Вылов Ц. и др. ОИЯИ, Рб-9369, Дубна, 1975.
2. *Meijer B.J., De Boer F.W.N., Goudsmidt P.F.A. Nucl. Phys., 1976, A259, p.2, 213.*
3. Абдуразаков А.А. и др. Изв. АН СССР, сер. физ., 1971, 35, с.698.
4. Агеев В.А. и др. В кн.: Программа и тезисы докладов XIV ежегодного совещания по ядерной спектроскопии, Тбилиси. "Наука", М., 1964, с.63.
5. Ван Чуань-пэн, Громов К.Я. и др. Изв. АН СССР, сер. физ., 1964, 28, с.252.  
Гасиор М., Громов К. и др. В кн.: Тезисы докладов XXVI Совещания по ядерной спектроскопии и структуре атомного ядра. "Наука", Л., 1976, с.117.
6. Джелепов Б.С., Зырянова Л.Н., Суслов Ю.П. Бетапроцессы. "Наука", Л., 1972.
7. Бонч-Осмоловская Н.А. и др. Изв. АН СССР, сер. физ., 1973, 37, с.972.
8. Бонч-Осмоловская Н.А. и др. Изв. АН СССР, сер. физ., 1974, 38, с.2516.

Рукопись поступила в издательский отдел  
9 марта 1977 года.